

### ВЗАЄМОДІЯ ТРІЩИН У ПРУЖНОМУ ТІЛІ, ЩО ОМИВАЄТЬСЯ РІДИНОЮ, ЗА ГАРМОНІЧНИХ НАВАНТАЖЕНЬ

*Метод граничних інтегральних рівнянь застосовано до розв'язання динамічної задачі про взаємодію компланарних кругових тріщин у пружному півпросторі, що омивається рідиною. На поверхні тріщин діють усталені в часі розривні навантаження. Отримано та проаналізовано коефіцієнти інтенсивності напружень в околах контурів дефектів.*

Напружено-деформований стан композитних тіл із тріщинами під дією динамічних навантажень у випадках плоскої та осесиметричної постановок задач досліджено в роботах [9–11]. Для розв'язування вказаних задач у тривимірній постановці використано метод граничних інтегральних рівнянь (ГІР) [2, 3, 6, 8]. У цій роботі досліджено динамічну концентрацію напружень поблизу компланарних тріщин у біматеріальному тілі, однією із складових якого є рідина.

Розглянемо біматеріальне тіло, яке складається з нижнього пружного ізотропного півпростору з густиною  $\rho$ , модулем зсуву  $G$ , коефіцієнтом Пуассона  $\mu$  і верхнього півпростору, який є ідеальною нестисливою рідиною з густиною  $\rho_p$ . Нижній півпростір містить  $K$  плоских компланарних кругових тріщин, що займають області  $S_k$ ,  $k = 1, \dots, K$ , і розміщені на однаковій глибині залягання  $d = |O_0 O_1|$  у площині, перпендикулярній до поверхні  $S_0$  поділу середовищ. Протилежні поверхні  $S_k^\pm$  тріщин зазнають дії самозрівноважених гармонічних розривних зусиль

$$N_{3k}^+(\mathbf{x}_k, t) = -N_{3k}^-(\mathbf{x}_k, t) = N_{3k}(\mathbf{x}_k) \exp(-i\omega t),$$

де  $\omega$  – частота прикладеного навантаження;  $t$  – час;  $N_{3k}$ ,  $k = 1, \dots, K$ , – амплітудні значення зусиль;  $i = \sqrt{-1}$ . Приймаємо, що в процесі навантаження тіла тріщини не поширюються і контакт їх протилежних поверхонь відсутній. Виберемо локальні декартові системи координат  $O_k x_{1k} x_{2k} x_{3k}$ ,  $k = 0, 1, \dots, K$ , так, щоб нижньому півпростору відповідала область  $x_{30} \leq 0$ , а області  $S_k$  тріщин містились у координатних площинах  $x_{1k} O_k x_{2k}$  (рис. 1).

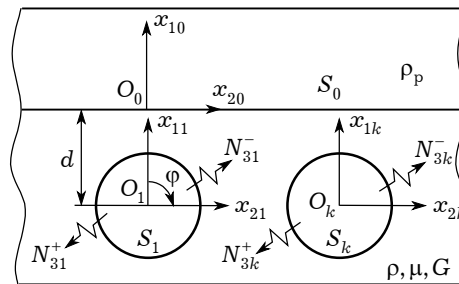


Рис. 1

Задача про визначення напружено-деформованого стану такого тіла з дефектами зводиться до розв'язування диференціальних рівнянь

$$\rho_p \omega^2 \mathbf{u}_p - \text{grad } p = 0, \quad \Delta_3 \mathbf{u} + \frac{1}{1-2\mu} \text{grad div } \mathbf{u} + \frac{\rho \omega^2}{G} \mathbf{u} = 0 \quad (1)$$

з крайовими умовами

$$u_3(\mathbf{x}_0) = u_{3p}(\mathbf{x}_0), \quad \sigma_{33}(\mathbf{x}_0) = p(\mathbf{x}_0), \quad \sigma_{13}(\mathbf{x}_0) = \sigma_{23}(\mathbf{x}_0) = 0, \quad \mathbf{x}_0 \in S_0,$$

$$\sigma_{33k}(\mathbf{x}_k) = -N_{3k}(\mathbf{x}_k), \quad \mathbf{x}_k \in S_k, \quad k = 1, \dots, K,$$

$$N_{1k}(\mathbf{x}_k) = N_{2k}(\mathbf{x}_k) = 0, \quad k = 1, \dots, K. \quad (2)$$

Тут  $\mathbf{u}(u_1, u_2, u_3)$ ,  $\mathbf{u}_p(u_{1p}, u_{2p}, u_{3p})$  – відповідно амплітудні значення векторів переміщень у пружному півпросторі та рідині;  $p$ ,  $\sigma_{j3k}$  – амплітудні значення гідростатичного тиску та компонентів тензора напружень;  $\Delta_3$  – тривимірний оператор Лапласа.

Переміщення у довільній точці нижнього півпростору, зумовлені переміщеннями  $u_{j0}$ ,  $j = 1, 2, 3$ , межі  $S_0$  і переміщеннями  $u_{jk}$  від взаємного розкриття протилежних поверхонь  $S_k^\pm$  тріщин, будуть

$$u_j(x_0) = u_{j0}(x_0) + \sum_{k=1}^K [\delta_{j1} u_{2k}(x_{k0}) + \delta_{j2} u_{3k}(x_{k0}) + \delta_{j3} u_{1k}(x_{k0})].$$

Тут  $\delta_{ji}$  – символ Кронекера; переміщення  $u_{jk}(x_k)$  вибрано у вигляді інтегральних подань [3]

$$u_{jk}(x_k) = -\frac{\partial P_{3k}^{(1)}}{\partial x_{jk}} + (1 - \delta_{j3}) \left[ 2 \frac{\partial P_{3k}^{(2)}}{\partial x_{jk}} + \frac{\partial P_{jk}^{(2)}}{\partial x_{3k}} \right] + \frac{2}{\omega_2^2} \frac{\partial}{\partial x_{jk}} \sum_{m=1}^3 \left[ \delta_{m3} \Delta_k + \right. \\ \left. + (1 - \delta_{m3}) \frac{\partial^2}{\partial x_{j3} \partial x_{mk}} \right] \sum_{\ell=1}^2 (-1)^{\ell+1} P_{mk}^{(\ell)}, \quad k = 0, \dots, K, \quad (3)$$

де  $P_{jk}^{(\ell)}(x_k) = \iint_{S_k} \Delta u_{jk}(\xi) \Phi_\ell(x_k, \xi) dS_\xi$ ,  $j = 1, 2, 3$ ,  $\ell = 1, 2$ , – потенціали Гельмгольца;  $\Phi_\ell(x_k, \xi) = \frac{\exp(i\omega_\ell |x_k - \xi|)}{|x_k - \xi|}$ ;  $|x_k - \xi| = \left[ \sum_{n=1}^2 (x_{nk} - \xi_n)^2 \right]^{1/2}$ ;  $\Delta_k = \frac{\partial^2}{\partial x_{1k}^2} +$

$+\frac{\partial^2}{\partial x_{1k}^2}$  – двовимірний оператор Лапласа. Координати  $x_{1k}, x_{2k}, x_{3k}$ ,  $k = 0, 1, \dots, K$ , точки  $x_k$  у  $k$ -й системі координат пов'язані з координатами  $x_{1nk}, x_{2nk}, x_{3nk}$ ,  $n = 0, 1, \dots, K$ , цієї ж точки  $x_{nk}$  в  $n$ -й системі координат співвідношеннями

$$x_{1nk} = x_{1k}, \quad x_{2nk} = d_{nk} \cos(d_{nk}, x_{2k}) + x_{2k}, \\ d_{nk} = |O_n O_k|, \quad n, k = 1, \dots, K.$$

Переміщення у довільній точці  $u_{jp}$ ,  $j = 1, 2, 3$ , рідини вибрано у вигляді

$$u_{jp}(x_0) = \frac{\partial}{\partial x_j} \iint_{S_0} \Delta u_{jp}(\xi) \Phi_p(x_0, \xi) dS_\xi, \quad \Phi_p(x_0, \xi) = \frac{\exp[i\omega_p |x_0 - \xi|]}{|x_0 - \xi|}.$$

Тут  $\omega_p = \frac{\omega}{c_p}$ ,  $c_p$  – швидкість поширення пружної хвилі у рідині;  $\omega_\ell = \frac{\omega}{c_\ell}$ ,  $\ell = 1, 2$ , де  $c_1$  і  $c_2$  – відповідно швидкості поширення в нижньому півпросторі поздовжньої і поперечної пружних хвиль.

Невідомі густини  $\Delta u_{jk}$ ,  $j = 1, 2, 3$ ,  $k = 1, \dots, K$ , потенціалів  $P_{jk}^{(\ell)}(x_k)$  характеризують зміщення точок протилежних поверхонь тріщин у напрямі  $O_k x_{jk}$ , густини  $\Delta u_{j0}$  і  $\Delta u_{jp}$  характеризують зміщення точок поверхні  $S_0$  відповідно нижнього півпростору та рідини. Для вказаного вище розташування і навантаження у тілі тріщин відмінними від нуля будуть лише розриви  $\Delta u_{3k}$ ,  $k = 1, \dots, K$ , нормальних зміщень.

Визначаючи за законом Гука напруження на місці розташування тріщин і задовольняючи крайові умови (2), задачу динамічної теорії пружності зводимо до розв'язування системи  $K$  двовимірних граничних інтегральних рівнянь типу потенціалу Гельмгольца відносно невідомих густин  $\Delta u_{3k}$  [3]:

$$\begin{aligned} & \iint_{S_k} \frac{\Delta u_{3k}(\xi)}{|x_k - \xi|^5} \mathcal{L}(x_k, \xi) dS_\xi + \sum_{n=1}^K (1 - \delta_{nk}) \iint_{S_k} \frac{\Delta u_{3n}(\xi)}{|x_{nk} - \xi|^5} \mathcal{L}(x_{nk}, \xi) dS_\xi + \\ & + 2 \sum_{n=1}^K \sum_{m, \ell=1}^2 \iint_{S_n} \Delta u_{3n}(\xi) \int_0^\infty \frac{\tau}{R(\tau)} \left[ A_{m\ell}(\tau) + \omega_2^2 \frac{\rho_p}{\rho} \frac{R_1(R_3 - R_1 R_2)}{R_p F_{St}(\tau)} B_{m\ell}(\tau) \right] \times \\ & \times \Omega_{m\ell}(x_{nk}, \xi, \tau) \frac{\exp[-|b_1|R_m - |b_2|R_\ell]}{R_m R_\ell} d\tau dS_\xi = \\ & = \frac{\omega_2^2}{4G} N_{3k}(x_k), \quad x_k \in S_k, \end{aligned} \quad (4)$$

де  $|x_{nk} - \xi| = [(2d_{nk} - x_{1nk} - \xi_1)^2 + (x_{2nk} - \xi_2)^2]^{1/2}$ ;  $R_j = \sqrt{\tau^2 - \omega_j^2}$ ,  $j = 1, 2$ ;

$R_3 = \tau^2 - \frac{\omega_2^2}{2}$ ;  $R_p = \sqrt{\tau^2 - \omega_p^2}$ ;  $F_{St}(\tau) = R(\tau) + \frac{\rho_p}{\rho} \frac{\omega_2^4}{4} \frac{R_1}{R_p}$  – функція Стоунлі,

$R(\tau) = R_3^2 - \tau^2 R_1 R_2$  – функція Релея.

Ядра  $\mathcal{L}(x_{nk}, \xi)$ ,  $\Omega_{m\ell}(x_{nk}, \xi, \tau)$  мають вигляд

$$\mathcal{L}(x_{nk}, \xi) = \sum_{m=1}^2 (-1)^{m+1} V_m(|x_{nk} - \xi|) \exp(i\omega_m |x_{nk} - \xi|),$$

$$\begin{aligned} V_m(z) = & 9 - 9i\omega_m z - (5\omega_2^2 - \omega_m^2)z^2 + i\omega_m(2\omega_m^2 - \omega_2^2)z^3 + \\ & + \delta_{1m}(2\omega_1^2 - \omega_2^2)^2 \frac{z^4}{4}, \end{aligned}$$

$$\Omega_{m\ell}(x_{nk}, \xi, \tau) = (-1)^{m+1} [\delta_{1m} \delta_{1\ell} \Omega_0 + (1 - \delta_{m\ell}) \Omega_1 + \delta_{2m} \delta_{2\ell} \Omega_2],$$

$$\Omega_k = \left[ \frac{\mu \omega_2^2}{2(1 - \mu)} \right]^{2-k} \left( \frac{\tau}{b_3} \right)^k J_k(\tau b_3), \quad k = 0, 1, 2.$$

Тут  $b_1 = |d - x_{1nk}|$ ,  $b_2 = |d - \xi_1|$ ,  $b_3 = |x_{2nk} - \xi_2|$ ;  $J_k(y)$  – функція Бесселя  $k$ -го порядку дійсного аргументу. Функції  $A_{m\ell}(\tau)$ ,  $B_{m\ell}(\tau)$  мають вигляд

$$A_{11}(\tau) = -R_1(R_3^2 + \tau^2 R_1 R_2), \quad A_{12}(\tau) = A_{21} = 2R_1 R_2^2 R_3,$$

$$A_{22}(\tau) = -R_2(R(\tau) + 2R_1 R_2^3), \quad B_{11}(\tau) = \tau^2 R_1 R_3,$$

$$B_{12}(\tau) = -\tau^2 R_1 R_2^2, \quad B_{21}(\tau) = -R_2 R_3^2, \quad B_{22}(\tau) = R_2^3 R_3.$$

Коли  $\frac{\rho_p}{\rho} \rightarrow 0$ , рівняння (4) переходять у рівняння задачі про вільний півпростір з тріщинами [4].

Відомо [3], що ГІР (4) належать до класу гіперсингулярних рівнянь з огляду на наявність сильної особливості  $|x_k - \xi|^{-3}$  у ядрі. Для числового розв'язування рівнянь їх розв'язки подамо у вигляді

$$\Delta u_{3k}(\xi) = \sqrt{a_k^2 - \xi_1^2 - \xi_2^2} \Psi_{3k}(\xi), \quad k = 1, \dots, K,$$

де  $\Psi_{3k}(\xi)$  – невідомі неперервно диференційовні в областях  $S_k$  функції;  $a_k$  – радіуси тріщин.

Після проведення регуляризації [7] ГІР (4) зводили до розв’язування системи лінійних алгебричних рівнянь відносно невідомих дискретних значень функцій  $\Psi_{3k}(\xi)$ . Кругові області  $S_k$  тріщин дискретизували в полярних системах координат  $O_k r \varphi$  чотирикутними граничними елементами, в межах кожного з яких значення  $\Psi_{3k}(\xi)$  приймали сталими.

Як приклад розглядали випадок двох кругових тріщин радіусів  $a$ , що зазнають дії розривних зусиль сталої амплітуди  $N_{3k}(x_k) = N_0$ ,  $k = 1, 2$ . Для дискретизації областей тріщин вибирали 11 точок розбиття за радіальною координатою  $r$  і 16 точок за кутовою координатою  $\varphi$ . Коефіцієнт Пуассона  $\mu$  матеріалу нижнього півпростору покладали рівним 0.3.

За допомогою розв’язків  $\Psi_{3k}(r, \varphi)$  на контурах тріщин визначали коефіцієнти інтенсивності напружень (КІН) відриву

$$K_{Ik}(\varphi, t) = -\frac{2G\pi\sqrt{\pi a}}{1-\mu} \Psi_{3k}(a, \varphi) \exp(-i\omega t), \quad k = 1, 2.$$

Розрахунки виконано для відносних амплітуд  $\tilde{K}_I = \frac{|K_I|}{K_I^s}$ , де  $K_I^s = 2N_0\sqrt{\frac{a}{\pi}}$  – статичний КІН відриву для тріщини у безмежному тілі з пружними характеристиками нижнього півпростору під дією зусиль  $N_0$ . На рис. 2–4 зображено залежності відносних амплітуд  $\tilde{K}_I$  від циклічної частоти  $\omega_2 a$ . Криві на рис. 2 відповідають значенням кутової координати  $\varphi$  точки контуру тріщини  $\varphi = 0, 90, 180, 270^\circ$  при  $d = 1.2a$ ,  $d_{12} = 3.0a$ ,  $\rho/\rho_p = 2.8$ . На рис. 3 кривим відповідають значення глибини  $d$  залягання тріщин  $d = 1.2a, 1.3a, 1.4a$  при  $\varphi = 0^\circ$ ,  $d_{12} = 3.0a$ ,  $\rho/\rho_p = 2.8$ .

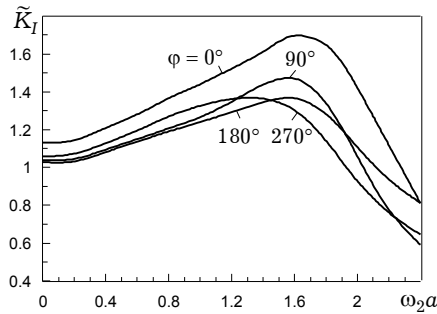


Рис. 2

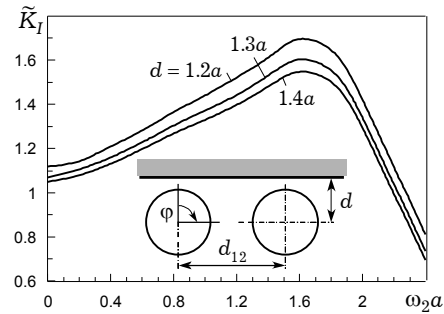


Рис. 3

Криві на рис. 4 відповідають значенням відношення між густинами складових тіла  $\rho/\rho_p = 2.8, 3.0, 4.0$  при  $\varphi = 0^\circ$ ,  $d = 1.15a$ ,  $d_{12} = 3.0a$ . Бачимо, що в розглянутому діапазоні зміни параметра  $\omega_2 a$  амплітуди  $\tilde{K}_I$  монотонно зростають від своїх статичних значень для  $\omega_2 a = 0$  до максимумів, а потім монотонно спадають. За фіксованої відстані  $d_{12}$  між тріщинами у найближчих до поверхні поділу середовищ точках контурів тріщин збіль-

шення глибини  $d$  залягання дефектів (рис. 3) і співвідношення  $\rho/\rho_p$  густин середовищ (рис. 4) призводить до зменшення значень  $\tilde{K}_I$  і прямування їх до аналогічних залежностей у випадку вільного півпростору [4].

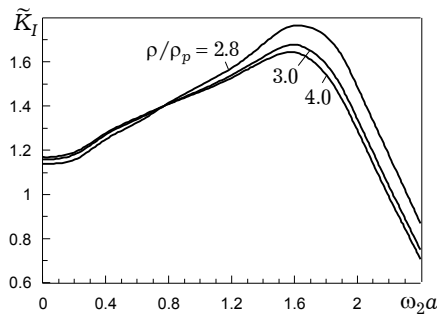


Рис. 4

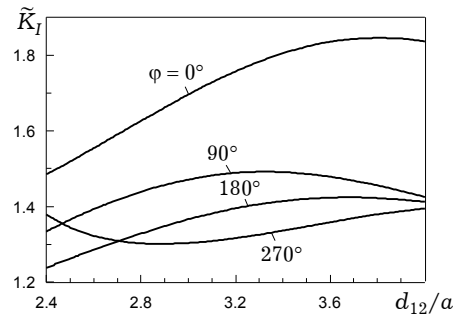


Рис. 5

На рис. 5 зображено залежності амплітуди  $\tilde{K}_I$  у різних точках контуру тріщини від відстані  $d_{12}/a$  між дефектами за фіксованих значень  $d = 1.2a$ ,  $\rho/\rho_p = 2.8$ ,  $\omega_2 a = 1.6$ . Кривим відповідають значення точок контуру з кутівими координатами  $\phi = 0, 90, 180, 270^\circ$ . Видно, що вказані залежності мають хвилеподібний характер. Подібне явище раніше зауважено для випадку безмежного [1, 7] і напівбезмежного [4, 5] тіл.

This work is supported by INTAS (Project No. 05-1000008-7979).

1. Гузь А. Н., Зозуля В. В. Хрупкое разрушение материалов при динамических нагрузках. – Киев: Наук. думка, 1993. – 236 с. – (Неклассические проблемы механики разрушения: В 4 т. – Т. 4.)
2. Михаськів В. В., Сладек Я., Сладек В., Степанюк А. И. О концентрации напряжений возле эллиптической трещины на границе раздела упругих тел при установившихся колебаниях // Прикл. механика. – 2004. – **40**, № 6. – С. 81–89.
3. Станкевич В. З. Напруження біля тріщини в півпросторі, що контактує з рідиною, під гармонічним навантаженням // Фіз.-хім. механіка матеріалів. – 2005. – **41**, № 3. – С. 96–100.
4. Станкевич В. З., Стасюк Б. М. Трехмерная динамическая задача о взаимодействии трещин в полупространстве // Теорет. и прикл. механика. – 2001. – Вып. 34. – С. 125–131.
5. Станкевич В. З., Стасюк Б. М., Хай О. М. Решение динамической задачи о взаимодействии компланарных трещин в полупространстве с защемленной поверхностью посредством граничных интегральных уравнений // Прикл. механика и техн. физика. – 2005. – **46**, № 1. – С. 153–159.
6. Хай М. В., Станкевич В. З., Стасюк Б. М. О решении трехмерной динамической задачи для биматериального тела с трещиной методом граничных интегральных уравнений // Теорет. и прикл. механика. – 2003. – Вып. 38. – С. 130–134.
7. Kit H. S., Khaj M. V., Mykhas'kiv V. V. Analysis of dynamic stress concentration in an infinite body with parallel penny-shaped cracks by BIEM // Engng. Fract. Mech. – 1996. – **55**, No. 2. – P. 191–207.
8. Mykhas'kiv V. V., Stepanyuk O. I. Boundary integral analysis of the symmetric dynamic problem for an infinite bimaterial solid with an embedded crack // Meccanica. – 2001. – **36**, No. 4. – P. 479–495.
9. Sih G. C., Chen E. P. Axisymmetric elastodynamic response from normal and radial impact of layered composites with embedded penny-chaped crack // Int. J. Solids and Struct. – 1980. – **16**. – P. 1093–1107.
10. Sih G. C., Chen E. P. Normal and shear impact of layered composite with a crack dynamic stress intensification // Trans. ASME. J. Appl. Mech. – 1980. – **47**. – P. 351–358.
11. Takei M., Shindo Y., Atsumi A. Diffraction of transient horizontal shear waves by a finite crack at the interface of two bonded dissimilar elastic solids // Engng. Fract. Mech. – 1982. – **16**. – P. 799–807.

**ВЗАИМОДЕЙСТВИЕ ТРЕЩИН В УПРУГОМ ТЕЛЕ, ОМЫВАЕМОМ ЖИДКОСТЬЮ,  
ПРИ ГАРМОНИЧЕСКИХ НАГРУЗКАХ**

*Метод граничных интегральных уравнений использован для решения динамической задачи о взаимодействии компланарных круговых трещин в упругом полупространстве, омываемом жидкостью. Поверхности трещин находятся под воздействием установившихся во времени разрывных нагрузок. Получены и проанализированы коэффициенты интенсивности напряжений в окрестности дефектов.*

**CRACKS INTERACTION IN ELASTIC SOLID CONTACTING WITH FLUID  
UNDER TIME-HARMONIC LOADING**

*The boundary integral equation method is applied to solving the multiple crack problem for elastic half-space contacting with a fluid. The crack faces are subjected to time-harmonic loading. The stress intensity factors in the vicinities of defects are obtained and analyzed.*

Львів, філія Дніпропетр. нац. ун-ту  
залізн. транспорту ім. акад. В. Лазаряна, Львів

Одержано  
05.10.06